

### Список літератури

1. Ален И., Голуб А. С и С++. Правила программирования. – М.: БИНОМ. – 272 с.
2. Мейерс С. Эффективное использование С++. 50 рекомендаций по улучшению программ и проектов. – М.: ДМК, 2000. – 240 с.
3. Сидоров Н.А. Применение принципов программной инженерии в преподавании основ программирования // УСиМ. – 1999. – №2. – С. 50–57.
4. Rajlich V.T., Bennett K.H. Software Cultures and Evolution // Computer. – 2001. – Sept. – P. 24–28.
5. Керніган Б., Плоджер Ф. Елементы стиля програмування. – М.: Радіо і свярзь, 1984. – 160 с.
6. Нуквест Е. Правила хорошого тона для программирования на С++. – К.: Наук. думка, 1994. – 85 с.
7. Хьюз Дж., Мичтом Дж. Структурный подход к программированию. – М.: Мир, 1981. – 331 с.
8. Дейтел Х., Дейтел П. Как программировать на С++. Пер. с англ. – М.: БИНОМ, 1998. – 1024 с.
9. Керніган Б., Плоджер Ф. Інструментальні средства програмування на языку Паскаль. – М.: Радіо і свярзь, 1985. – 313 с.
10. Михайлов А.И., Черный А.И., Гияревский Р.С. Основы информатики. – М.: Наука, 1968. – 757 с.
11. Fenton N.E., Pfleeger S.L. Software metrics // PWS PC. – 1996. – 560 с.
12. Большая советская энциклопедия. Т. 20. – М.: Сов. энцикл., 1975. – 474 с.
13. Основи програмування та алгоритмічні мови: Лабораторні роботи / Уклад.: М.О. Сидоров, Ю.М. Крамар. – К.: КМУЦА, 2000. – 60 с.

Стаття надійшла до редакції 30.03.02.

УДК 629.735:519.835

Л.М. Іванова, асист.

### ОЦІНКА ТОЧНОСТІ ТА ВИТРАТ ЧАСУ НА ЦИФРОВЕ МОДЕЛЮВАННЯ ХАРАКТЕРИСТИК ДИНАМІЧНИХ СИСТЕМ З ВИКОРИСТАННЯМ ВЛАСТИВОСТЕЙ ІНТЕГРАЛА ЗГОРТКИ

Розглянуто підхід до побудови цифрової моделі динамічної системи з використанням властивостей інтеграла згортки, підхід до оцінки точності функціонування побудованої моделі. Для цифрової моделі, побудованої з використанням пропонованого підходу, обчислено максимальну відносну точність моделювання  $\delta$  та витрати часу на моделювання однієї точки реакції  $t_m$ . У результаті проведених експериментів побудовано поверхню  $\pi(\delta_{t_m}, T) = 0$ , де  $T$  – крок моделювання. Визначено, як по поверхні  $\pi$  можна вибрати оптимальні значення  $\delta$  та  $t_m$ .

Для побудови цифрових моделей (ЦМ) динамічних систем (ДС) при невідомих априорі законах зміни в часі вхідних сигналів пропонується метод з використанням властивостей інтеграла згортки.

Лінійні ДС вигляду:

$$\sum_{i=0}^n a_i y^{(i)}(t) = \sum_{j=0}^m b_j x^{(j)}(t), \quad (1)$$

при заданих початкових умовах (ПУ):

$$y^{(n-1)}(t)|_{t=0} = y^{(n-1)}(0), \dots, y'(t)|_{t=0} = y'(0), y(t)|_{t=0} = y(0),$$

де  $n, m$  – вищі порядки відповідно вихідного параметра і вхідного сигналу ( $n \geq m$ );  $a_i, b_j$  – коефіцієнти диференційного рівняння (ДУ),  $y^{(i)}(t)$  –  $i$ -та похідна вихідного параметра;  $x^{(j)}(t)$  –  $j$ -та похідна вхідного сигналу мають важливі для подальшого розгляду властивості. Для таких ДС справедливий принцип суперпозиції (накладання) реакцій систем від окремих вхідних впливів. Властивості цих ДС не змінюються в часі, оскільки визначені коефіцієнтами (1), що не залежать від  $t$ .

Відповідно до першої властивості для будь-якого значення  $t_0$ , якщо

$$x(t_i) = \sum_{k=1}^n x_k(t_i) + x(0), \quad (2)$$

то

$$y(t_i) = \sum_{k=1}^n y[x_k(t_i)] + y[x(0)]. \quad (3)$$

У свою чергу, за другою властивістю, якщо

$$x(t) = A \cdot 1(t); \quad A = \text{const}; \quad (4)$$

$$x(t-\tau) = A \cdot 1(t-\tau), \quad (5)$$

то

$$y[x(t)]|_{t=t_k} = y[x(t-\tau)]|_{t=t_k+\tau}; \quad (6)$$

$$y[x(t-\tau)]|_{t=t_k} = y[x(t)]|_{t=t_k-\tau}. \quad (7)$$

При підстановці відповідно співвідношень (6) і (7) у рівностях (4) і (5) вони набувають вигляду:

$$\begin{aligned} y[A_1(t)]|_{t=t_k} &= y[A_1(t-\tau)]|_{t=t_k+\tau}; \\ y[A_1(t-\tau)]|_{t=t_k} &= y[A_1(t)]|_{t=t_k-\tau}, \end{aligned}$$

або

$$Ah(t)|_{t=t_k} = Ah(t-\tau)|_{t=t_k+\tau}; \quad (8)$$

$$Ah(t-\tau)|_{t=t_k} = Ah(t)|_{t=t_k-\tau}, \quad (9)$$

де  $h(t)$  – перехідна характеристика.

Тобто при зсуві графіка перехідної характеристики  $h(t)$  ДС вправо уздовж осі  $t$  на значення  $\tau$  у виразі (9) він у точності збігається з графіком характеристики  $h(t-\tau)$ , і, навпаки, при зсуві графіка  $h(t-\tau)$  вліво уздовж осі  $t$  на значення  $\tau$  у виразі (8) він у точності збігається з графіком  $h(t)$ .

У процесі функціонування реальних моделюючих систем (МС) вхідний безперервний сигнал  $x(t)$  при введенні в систему для більшості випадків піддається екстраполяції першого порядку. Отже, якщо  $x(t)$  змінюється по заздалегідь невідомому закону, то з урахуванням роботи екстраполятора він піддається ступінчастій апроксимації (рис. 1). Тоді справедливі такі співвідношення:

$$x(t) \approx x^*(t) = x(0) + \sum_{k=1}^n \Delta x_k(t-t_k), \quad t_k=k;$$

$$y[x(t)] \approx y[x^*(t)] = y\left[x(0) + \sum_{k=1}^n \Delta x_k(t-t_k)\right].$$

З урахуванням властивостей лінійних ДС і співвідношень (1)–(9) вихідний сигнал зображується як:

$$\begin{aligned} y(t) &= y[x^*(t)] = y[x(0)] + \sum_{k=1}^n y[\Delta x_k(t-t_k)] = \\ &= y[A_0 1(t)] + \sum_{k=1}^n y[A_k 1(t-kT)] = A_0 h(t) + \sum_{k=1}^n A_k h(t-kT), \end{aligned} \quad (10)$$

де коефіцієнти  $A_k = \text{const}$  ( $k = \overline{1, n}$ ) дорівнюють прирошенням значень вхідного сигналу  $x(t)$  у відповідні такти квантування. Тоді

$$A_0 = x_0 = x(0);$$

$$A_k = \Delta x_k = x(t_{k+1}) - x(t_k);$$

$$y(t) = x(0)h(t) + \sum_{k=1}^n \Delta x_k h(t - kT). \quad (11)$$

Якщо збільшувати число ділянок  $n$  на інтервалі часу  $[0, t_m]$  (рис. 1), то в границі при  $n \rightarrow \infty$ :

$$x^*(t) \rightarrow x(t), \Delta x_k \rightarrow dx = x'(t)dt$$

вираз суми переходить в інтеграл, і формула (11) має вигляд:

$$y(t) = x(0)h(t) + \int_0^t x'(\tau)h(t - \tau)d\tau, \quad (12)$$

де  $0 \leq \tau \leq t_m$ .

Вираз (12) є однією з форм запису інтеграла згортки, який у прийнятих позначеннях може мати вигляд наступних залежностей:

$$y(t) = x(0)h(t) + \int_0^t h(\tau)x'(t - \tau)d\tau; \quad (13)$$

$$y(t) = h(0)x(t) + \int_0^t w(\tau)x(t - \tau)d\tau; \quad (14)$$

$$y(t) = h(0)x(t) + \int_0^t x(\tau)w(t - \tau)d\tau. \quad (15)$$

Викладені міркування і формули (12)–(15) підтверджують той факт, що використання інтеграла згортки дозволяє провести моделювання реакції ДС на вхідний вплив  $x(t)$ , що довільно змінюється в часі. На практиці краще віддати перевагу застосуванню формул (12) або (13), що пов’язано з їх певними перевагами: експериментальне визначення переходної характеристики  $h(t)$  ДС не являє труднощів, а визначення функції ваги  $w(t)$  ДС сполучено з деякими затрудненнями, тому що вхідний сигнал, який при цьому використовується, –  $\delta(t)$  (функція Дірака) – фізично не можна реалізувати. Обчислення за залежністю  $w(t) = h'(t)$  призводять до додаткових похибок при визначенні  $w(t)$ . Крім того, на відміну від застосування формул (12) та (13), використання співвідношень (14) і (15) ускладнює урахування ПУ для вхідного сигналу і моделювання сталих значень вихідного параметра  $y$ , оскільки за визначенням  $w(t) \equiv 0$  при  $t_m \rightarrow \infty$  як  $w(\tau) \rightarrow 0$ , так і  $w(t - \tau) \rightarrow 0$ . Тому і надалі при побудові ЦМ ДС за запропонованим методом використовується переходна характеристика  $h(t)$ .

З наведених міркувань випливає, що співвідношення (10) задає чисельний алгоритм обчислення виразу (12). Для виразу (13) цей алгоритм зображують як

$$y(t) = A_0 h(t) + \sum_{k=1}^n h_k A(t - kT); \quad (16)$$

$$h_k = h(t_k) = h(kT);$$

$$A(t - kT) = A(t - t_k) = \Delta x(t - kT) = x[t - (k + 1)\Gamma] - x[t - k\Gamma].$$

Вирази (10) та (16) можна переписати у вигляді:

$$y(t) = \sum_{k=0}^n A_k h(t - kT), \quad (17)$$

$$y(t) = \sum_{k=0}^n h_k A(t - kT), \quad (18)$$

де  $n = \text{int}(t/T) + 1$ ;  $\text{int}(D)$  – ціла частина  $D$ .

Відповідно до виразів (17) та (18), для того, щоб обчислити значення  $y[n]$ , необхідно мати значення  $h_i A$  у  $n+1$  попередніх точках. Причому при збільшенні  $t$  зростає і кількість доданків у виразах (17) та (18), тобто обсяг обчислень зростає при збільшенні  $n$ . Для усунення цього небажаного явища пропонується наступний підхід. При заданій похибці  $\sigma$  визначається час переходного процесу  $t_{\text{пп}}$  такий, що

$$\left| \frac{h(\infty) - h(t_{\text{пп}})}{h(\infty)} \right| \leq \sigma. \quad (19)$$

Тоді верхня границя (17) буде дорівнювати:

$$M = \text{int}(t_{\text{пп}}/T) = N, \quad t > t_{\text{пп}};$$

$$M = \text{int}(t/T), \quad t \leq t_{\text{пп}}$$

і вираз (17) буде мати вигляд:

$$y(t_n) \Big|_{t_n=nT} = y[nT] = \sum_{k=0}^N A_{n-M+k} h(t_{\text{пп}} - kT) + h[(N+1)T] \sum_{i=0}^{n-N-1} A[iT], \quad (20)$$

де друга сума дорівнює нулю при  $n \leq N$  і враховує сталі значення параметра  $u$ , що моделюється, для  $n > N$ .

Очевидно, що формула (20) справедлива і для довільних, не обов'язково кратних цілому  $T$ , значень  $t$ :

$$y(t) = \sum_{k=0}^N A_{t-MT+kT} h(t_{\text{пп}} - kT) + h(NT) \sum_{i=0}^{t-NT-1} A[iT]. \quad (21)$$

Формула (21) також задає обчислювальний алгоритм моделювання параметра  $u$  і для безперервного  $t$ . У цьому випадку передбачається завдання  $h(t)$  як ступінчасто-апроксимованої характеристики (рис. 1).

Для інтеграла (13) з урахуванням рівняння (18) формули (20), (21) будуть мати вигляд:

$$y(t_n) \Big|_{t_n=nT} = y[nT] = \sum_{k=0}^N h_{N-k} A[t_n - (M-k)T] + h[NT] \sum_{i=0}^{n-NT-1} A[iT]; \quad (22)$$

$$y(t) = \sum_{k=0}^N h_{N-k} A(t - (M-k)T) + h(NT) \sum_{i=0}^{t-NT-1} A[iT]. \quad (23)$$

Отже, співвідношення (20), (22) описують дискретну, а формули (21), (23) – безперервно-дискретну моделі вихідного параметра  $u$ , причому у другому випадку передбачається завдання  $h(t)$  або  $x(t)$  як ступінчасто-апроксимованих характеристик (рис. 1). Значення  $h[k]$  обчислюються або у процесі моделювання, або заздалегідь і формуються в масив чисел. Інший масив чисел тієї ж розмірності, що і масив  $h[k]$ , формується з вхідної послідовності  $A_k$ . Формування масиву  $A[kT]$  проводиться по конвеєрному принципу: визначення чергового значення  $A_k$ , зсув усіх попередніх значень  $A_{k-1}$  на  $T$ . Потім відповідно до формули (20) або (22) здійснюється перемножування  $h[kT]$  і  $A[kT]$ , тобто за відомим  $k = \overline{0, N}$  попереднім значенням  $A_k$  однозначно визначається реакція DC  $y[n] \quad n = \overline{0, \text{int}(t_m/T)}$  на вхідну послідовність  $x[n]$ , що довільно змінюється в часі.

Точність моделювання  $W_T(u)$ , де  $u$  – метод моделювання DC, залежить як від кількості членів ряду (20) або (22), що утримуються (тобто заданого розміру похибки  $\sigma$  із співвідношення (19)), так і від обраного  $T$ , причому період дискретизації  $T$  повинен враховувати частотні властивості безперервної DC, що моделюється. Загальні аналітичні методи оцінки точності ЦМ DC, що функціонують за алгоритмами (20), у даний час розроблені недостатньо, у зв'язку з чим пропонується метод оцінки точності  $W_T(u)$ , заснований на властивостях інтеграла згортки.

Сутність пропонованого методу базується на наступних міркуваннях. Сам принцип дії цифрової MC припускає дискретну апроксимацію вхідного сигналу  $x(t)$ , яка здійснюється за прикладом, показаним на рис.1, і реакція ЦМ DC може бути визначена не тільки в тактах

квантування  $n$ , але і при довільному  $t$ , некратному цілому  $T$ , що випливає з властивостей лінійних ДС. Таким чином, реалізація співвідношень (20)–(23) дозволяє проводити побудову як дискретних, так і безперервно-дискретних моделей. У другому випадку припускається ступінчаста апроксимація вхідного сигналу  $x(t)$  або  $h(t)$ , що відповідає принципу дії цифрової системи, оскільки у процесі перетворення проводиться вибірка  $x(t)$  у момент  $nT$  і фіксація цього значення до наступного  $(n+1)T$  такту перетворення.

Отже, запропонований метод еквівалентний визначеню реакції безперервної моделі ДС, яка реалізована, наприклад, на операційних підсилювачах із ступінчасто-апроксимованим вхідним сигналом  $x(t)$ , і дозволяє досягти потенційних значень показника  $W_T(u)$ . Крім того, метод, моделюючи реакції ДС на довільно мінливий, невідомий ап'яріорі сигнал, припускає також моделювання реакції ДС з довільним кроком у міжтактові проміжки, що є еквівалентом дискретного модифікованого методу  $z$ -перетворення. Проте запропонований метод на відміну від модифікованого методу  $z$ -перетворення не потребує ніяких додаткових перетворень моделі як при зміні  $T$ , так і при довільній зміні кроку всередині інтервалу  $[n, (n+1)T]$ . Ця особливість методу базується на властивості, яка припускає суперпозицію вихідних сигналів у довільний момент  $t$  часу моделювання.

При запропонованому підході також можлива реалізація співвідношення (17) або (18), коли кількість членів ряду (17) або (20), які утримуються, не обмежується  $t_{\text{пп}}$  та заданою  $\sigma$ , тобто враховуються усі доданки, що дозволяє здійснювати моделювання власне безперервно-дискретної системи, а не її деякого наближення.

При використанні запропонованого методу  $x(t)$  може задаватися й у табличному вигляді.

Як зазначалося, можливі два варіанти реалізації ЦМ ДС: точки характеристики  $h(t)$  про-раховуються заздалегідь на інтервалі  $[0, t_{\text{пп}}]$ , або характеристика  $h(t)$  визначається у процесі моделювання. Очевидно, що перший варіант є найбільш переважним для систем реального часу. У цьому випадку основні обчислювальні ресурси (ООР) ЦМ ДС, що функціонують за алгоритмами (20)–(23), визначаються тільки розмірами  $\sigma$  і  $T$  або точністю відтворення  $h(t)$  і не залежать від порядку  $n$  безперервної ДС. Справді, ООР ЦМ ДС, що реалізують співвідношення (20)–(23), визначаються кількістю арифметичних операцій і елементів масивів, а отже, і точністю зображення  $h(t)$  в оперативній пам'яті МС, а не порядком  $n$  ДС.

Реалізація співвідношень (20)–(23) у вигляді ЦМ ДС здійснюється з використанням елементарних машинних операторів. Так, обчислення першої суми виразу (22) проводиться в циклі з використанням машинного оператора:

$$Y := Y + A(I)H(I), \quad (24)$$

де  $Y$  – значення параметра, що моделюється,  $I = 0, N$ ;  $A$  – масив значень  $A_k$ ;  $H$  – масив значень  $h_k$ .

Обчислення другої суми виразу (22) проводиться з накопиченням значень (інтегрування):

$$A(N+1) := A(N+1) + A(N), \quad (25)$$

де  $A(N+1)$  – стало значення  $h(NT+1)$ ;  $A(N)$  – значення  $A_N$ .

Затримка (зсув) послідовностей  $A_k$  або  $h_k$  на такт моделювання  $T$  здійснюється з використанням операції перевизначення (пересилки) елементів масивів, яка проводиться в циклі:

$$A(k+1) := A(k) \text{ або } H(k+1) := H(k), \quad (26)$$

де  $k = 0, N-1$ .

Отже, запропонований алгоритм ЦМ ДС використовує такі машинні операції: додавання, множення та пересилки. Якщо верхня границя суми дорівнює  $N$ , тоді при обчисленні одного значення  $u[n]$  кількість операцій у формулах (20), (22) для першої суми складе  $N$  додавань,  $N$  множень,  $N-1$  пересилки; для другої суми – одне додавання і одне множення. Таким чином, загальна кількість операцій при моделюванні однієї точки вихідного параметра  $u[n]$  з урахуванням обчислення двох сум для додавання і множення складе  $(N+1)$ , а для пересилки –  $(N-1)$ .

У цьому випадку обсяг пам'яті команд  $W_{V1}(u)$  власне ЦМ ДС містить усього три елементарні машинні оператори (24)–(26), що виконуються в циклі. Надійність ЦМ ДС буде достатньо висока, тому що кількість операторів програми ЦМ ДС навіть з урахуванням їх виконання в циклі мала, тоді і можливість появи помилок також буде мала.

Розглянемо на конкретному прикладі проведення оцінки точності моделювання ЦМ. Припустимо, що задана ДС сьомого порядку при нульових ПУ:

$$\begin{aligned} \frac{d^7y(t)}{dt^7} + 20,3 \frac{d^6y(t)}{dt^6} + 133,9725 \frac{d^5y(t)}{dt^5} + 406,9513 \frac{d^4y(t)}{dt^4} + 1203,549 \frac{d^3y(t)}{dt^3} + \\ + 1385,94 \frac{d^2y(t)}{dt^2} + 845,9399 \frac{dy(t)}{dt} + 205,3713y(t) = \\ = \frac{d^5x(t)}{dt^5} + 13,8 \frac{d^4x(t)}{dt^4} + 75,14 \frac{d^3x(t)}{dt^3} + 276,878 \frac{d^2x(t)}{dt^2} + 701,3065 \frac{dx(t)}{dt} + 240,688. \end{aligned} \quad (27)$$

Експеримент проводився на основі порівняння функціонування безперервної та дискретної (цифрової) моделей ДС у вигляді (27). Реакція безперервної ДС обчислювалася аналітично за допомогою пакета MatLab, а моделювання реакції дискретної ДС (ЦМ, що побудована з використанням властивостей інтеграла згортки) реалізувалася відповідно до запропонованого методу. Значення переходної характеристики  $h(t)$  були також отримані аналітично в середовищі MatLab і розміщені у програмі реалізації ЦМ у вигляді блоку даних.

Методика проведення експерименту полягає в наступному. Задається значення максимальної абсолютної помилки моделювання:

$$\Delta_{\max} = 0,03 \cdot |h_{\text{уст}}|,$$

тобто трубка допуску  $\pm 3\%$  від  $|h_{\text{уст}}|$ . Такий вибір  $\Delta_{\max}$  дозволяє оцінити «інтегральну» абсолютної помилку безвідносно до причин, що її викликали (амплітудні або фазові помилки), оскільки передбачається, що поточне значення абсолютної помилки  $\Delta_{\text{тек}} \leq \Delta_{\max}$ , причому

$$\Delta_{\text{тек}} = \left\{ \left| y_u(t) \right|_{t=kT} - y_d[kT] \right\},$$

де  $y_u$  – вихідний сигнал безперервної моделі;  $y_d$  – вихідний сигнал дискретної ЦМ.

Відносну помилку моделювання  $\delta$ , що відповідає  $\Delta_{\text{тек}}$ , обчислюють за формулою

$$\delta = \frac{\Delta_{\text{тек}}}{\Delta_{\max}} \cdot 100\%. \quad (28)$$

Отже, якщо  $\delta=100\%$ , то  $\Delta_{\text{тек}} = \Delta_{\max}$ . Очевидно, що

$$\Delta_{\text{тек}} = \Delta_{\text{тек}}[k]; \quad \delta = \delta[k].$$

Протягом усього інтервалу моделювання  $t \in [0, t_m]$  для кожного  $t = kT$  обчислюють значення  $\Delta_{\text{тек}}[kT]$ , а потім з цих значень вибирають найбільше

$$\Delta_m(t) \Big|_{t=k_m T} = \Delta_m[k_m T]$$

і за формулою (28) обчислюють максимальну похибку  $\delta$ , що відповідає знайденому  $\Delta_m[k_m T]$ .

У процесі експерименту на вхід безперервної моделі подається безперервний синусоїdalnyj сигнал  $x(t)$  з амплітудою, яка дорівнює одиниці, а на вхід ЦМ ДС – ступінчасто-апроксимований сигнал  $x^*(t)$ , який був зформований із  $x(t)$  екстраполятором нульового порядку. Для усунення впливу на результати експерименту вільної (перехідної) складової моделей визначення похибки моделювання проводиться тільки після проходження часу  $5 t_{\text{пп}}$  ( $t_{\text{пп}}$  – час затухання перехідного процесу, що відповідно до аналітичних розрахунків дорівнює 14,5 с) від початку моделювання, при цьому час закінчення моделювання покладається рівним  $10 t_{\text{пп}}$ .

При дослідженні характеристик ЦМ ДС задаються різні розрахункові значення часу  $t_{\text{пп}}$ :

$$t_{\text{пп}} = \{3,5; 5,0; 10,0; 12,5; 20,0\},$$

а для кожного значення  $t_{\text{пп}}$  задаються крок екстраполяції  $T$  і частота вхідного сигналу  $f$ :

$T = \{0,1; 0,2; 0,3; 0,4; 0,5\}$ ,  
логарифмічний масштаб зміні:

$$f = \overline{0,01; 1,0} \text{ Гц.}$$

Розрахункові значення часу переходного процесу вибираються як меншими, так і більшими від аналітичного значення  $t_{\text{пп}}$ , що зменшує або збільшує кількість членів ряду, які утримуються при згортці відповідно до виразу (22). Ця кількість є одним з основних чинників, що роблять вплив на точність моделювання реакції DC. Іншим чинником є значення T, так як воно також впливає на кількість членів ряду, що утримуються. У свою чергу, витрати часу  $\tau_m$  на моделювання однієї точки характеристики DC залежать від кількості членів ряду, що утримуються.

Як приклад розрахунку витрат часу  $\tau_m$  розглядалася керуюча ЦОМ з характеристиками часу виконання операцій: додавання – 4,8 мкс, множення – 9,2 мкс, пересилка – 2,0 мкс. Розрахунок витрат часу  $\tau_m$  наведено для двох випадків.

1. Припустимо, що  $t_{\text{пп}} = 5,0$  с,  $T = 1,0$  с, тоді з урахуванням кількості значень переходної характеристики, що утримуються, і співвідношень (24)–(26) число операцій множення складе 7, додавання – 7, пересилки – 5, усього – 19 операцій. Сумарний час виконання операцій  $\tau_m$  розраховується як сума добутків кількості операцій на час їх виконання. Отже, для аналізованого випадку  $\tau_m = 108$  мкс.

2. Для  $t_{\text{пп}} = 20$  с,  $T = 0,1$  с кількість операцій множень складе 202, додавання – 202, пересилки – 200, усього – 604 операції. Тоді сумарний час виконання операцій  $\tau_m = 3228$  мкс.

У результаті проведених експериментів були отримані графіки, що являють собою поверхні  $\pi_i(\delta, f, T) = 0$  ( $i = \overline{1,5}$ ) у тривимірному просторі координат  $\delta, f, T$ , і для кожного узлового значення поверхні  $\pi_i$  обчислені витрати часу  $\tau_m$  на моделювання однієї точки реакції DC. Оцінка залежності похибки моделювання  $\delta$  від витрати часу моделювання  $\tau_m$  здійснюється з використанням цих графіків: при заданих  $t_{\text{пп}i}$  ( $i = \overline{1,5}$ ) і  $T_j$  ( $j = \overline{0,5}$ ) будуються залежності  $\delta(\tau_m)$  як криві, що огибають максимальні значення  $\delta(f)$  по всіх  $t_{\text{пп}i}$  для одних і тих самих  $T_j$ .

Побудована у такий спосіб поверхня  $\pi(\delta, \tau_m, T) = 0$  містить інформацію про співвідношення між  $\delta, \tau_m, T$  (рис. 2).

Використовуючи дані рис. 2 і результати роботи ЦМ DC, можна здійснити оптимальний вибір між  $\delta$  і  $\tau_m$ . Так, при зменшенні похибки від  $\delta = 905,4$  % ( $T_i = 0,5$  с,  $t_{\text{пп}} = 5$  с) до  $\delta = 101,4$  %

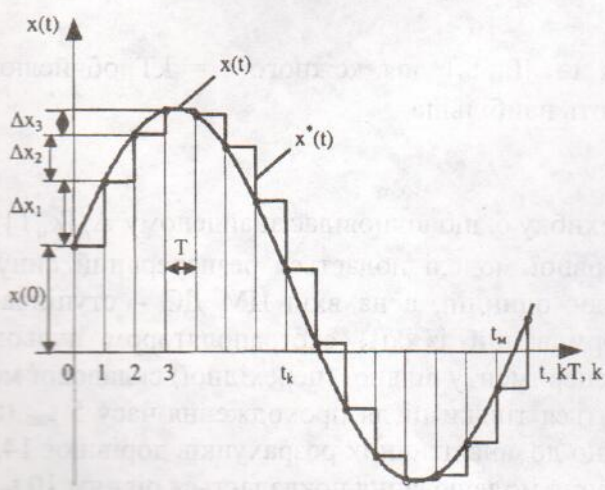


Рис. 1. Апроксимація вхідного сигналу  $x(t)$  при його введенні до МС:  
 $t_m$  – максимальний час моделювання

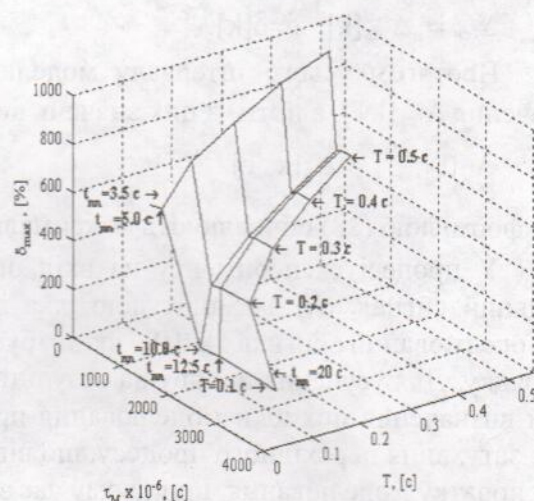


Рис. 2. Поверхня  $\pi(\delta, \tau_m, T) = 0$

( $T_i = 0,1$  с;  $t_{pp} = 12,5$  с), тобто приблизно у 8,93 раз, витрати часу збільшуються від  $\tau_m = 188$  мкс до  $\tau_m = 2028$  мкс. Зазначені точки лежать на границі поверхні  $\pi$ , тобто кожна точка належить одночасно парі кривих. Перша точка належить до плоскої кривої  $\delta(\tau_m)|_{T=0,5}$  і просторової кривої, що огибає точки кривих  $\delta(\tau_m)|_{t_{pp}=5}$ . Друга точка належить до плоскої кривої  $\delta(\tau_m)|_{T=0,1}$  і просторової кривої, що огибає точки кривих  $\delta(\tau_m)|_{t_{pp}=12,5}$ . Як приклад оптимального вибору  $\delta$  і  $\tau_m$  розглянемо декілька пар точок, що належать поверхні  $\pi$ .

Припустимо, є точка  $\tau_m = 828$  мкс з  $\delta = 569,36\%$  ( $t_{pp} = 5$  с,  $T = 0,1$  с) і точка  $\tau_m = 828$  мкс з  $\delta = 194,22\%$  ( $t_{pp} = 10$  с,  $T = 0,2$  с). Отже, розглядаються дві точки поверхні  $\pi$ , у яких досягається одне і те саме значення витрат часу на моделювання –  $\tau_m = 828$  мкс, тобто при тих самих витратах часу  $\tau_m$  збільшення кроку моделювання  $T$  веде для аналізованої пари точок до зменшення похибки  $\delta$ . Природньо в цьому випадку обрати точку з  $t_{pp} = 10$  с,  $T = 0,2$  с, для котрої  $\delta = 194,22\%$ ,  $\tau_m = 828$  мкс.

Для наступної пари точок при тому ж самому значенні  $\tau_m = 428$  мкс похибка  $\delta_1 = 655,67\%$  ( $t_{pp} = 5$  с,  $T = 0,2$  с), а похибка  $\delta_2 = 406,49\%$  ( $t_{pp} = 10$  с,  $T = 0,4$  с). У цьому випадку при збільшенні кроку моделювання від  $T = 0,2$  с до  $T = 0,4$  с похибка також значно зменшується. Доцільніше обрати точку з  $t_{pp} = 10$  с,  $T = 0,4$  с.

У випадку довільно заданої у просторі координат  $\delta_m$  точки  $(\delta_m, \tau_m)$  пропонується така процедура: передбачається, що  $\delta_m \in [\delta_{min}, \delta_{max}]$  і  $\tau_m \in [\tau_{min}, \tau_{max}]$ . Оскільки поверхня  $\pi(\delta, \tau_m, T) = 0$ , яка показана на рис. 2, буде кривими  $\delta(\tau_m)|_{T=T_i}$ , то наближена оцінка похибки  $\delta$  як функції  $\tau_m$  проводиться з використанням лінійної інтерполяції функції двох змінних  $T(\delta_m, \tau_m)$ , тобто визначається таке єдине значення  $T_p$ , при якому точка  $(\delta_m, \tau_m, T_p)$  лежить на поверхні  $\pi$ , де  $T_p$  – розрахункове значення  $T$ .

Можливий випадок, коли для заданих значень  $\delta_m, \tau_m$  відсутнє значення  $T_p$ , при якому точка  $(\delta_m, \tau_m, T_p)$  належить поверхні  $\pi$ , тобто задана точність моделювання не може бути досягнута при заданих витратах часу, іншими словами – ресурси моделюючої цифрової обчислювальної системи (ЦОС), які існують у наявності, не в змозі при витратах часу  $\tau_m$  забезпечити похибку моделювання  $\delta_m$ . У цьому випадку необхідно змінити вимоги до точності моделювання чи до витрат часу на моделювання або провести вибір ЦОС з іншими ресурсами.

Визначення факту приналежності точки  $(\delta_m, \tau_m, T_p)$  поверхні  $\pi$  здійснюється з використанням програмних засобів. При цьому необхідно враховувати, що поверхня  $\pi$  у машинному вигляді зображається як двовимірна таблиця значень  $T_{ij}$ , заданих у вузлах сітки по  $\delta_i$  і  $\tau_{mj}$ , причому кількість вузлів по аргументах може бути різною. Отже, парі аргументів  $\delta_i$  і  $\tau_{mj}$  відповідає єдине значення функції  $T_{ij}$ . Якщо задані такі  $\delta_i$  та  $\tau_{mj}$ , що  $T_{ij} = T_{i+1,j} = T_{i,j+1} = T_{i+1,j+1} = 0$ , то точка  $(\delta_m, \tau_m, 0)$  знаходиться поза поверхнею  $\pi$ . Реалізація програми, що аналізує подібний випадок, не натикається на труднощі.

Належність точки  $(\delta_m, \tau_m, T_p)$  поверхні  $\pi(\delta, \tau_m, T) = 0$  визначається з деякою похибкою, на яку необхідний допуск. Рекомендується обирати такі граници допусків за координатами:

$$\Delta\delta = \left| \frac{\delta_{i+1} - \delta_i}{2} \right|, \quad \Delta\tau = \left| \frac{\tau_{i+1} - \tau_i}{2} \right|,$$

де  $\Delta\delta$  і  $\Delta\tau_m$  визначаються для максимальних значень міжузлових різниць по індексам  $i$  та  $j$ .

Після обчислення  $T_p$  проводиться корекція його значення і значення  $\tau_m$  з урахуванням дискретності завдання характеристики  $h(t)$ , тобто з точністю до мінімального кроку DT дискретизації  $h(t)$ . Потім моделюється реакція ЦМ ДС і визначається характеристика  $(\delta_m, \tau_m)|_{T=T_p}$ , за якою проводиться оцінка відповідності фактичних і заданих значень  $\delta$  і  $\tau_m$ . У випадку їхнього виходу за границю заданого допуску  $T_p$  коректується на крок DT, розрахунок і

порівняння заданих і фактичних значень повторюється. Якщо при цьому похибка для  $\delta$  і  $\tau_m$  збільшується (ітераційний процес розходить), то необхідно змінити  $\delta_3$  або  $\tau_{m3}$  чи обрати ЦОС з іншими значеннями ООР.

Описана процедура вибору оптимального значення  $\delta$  і  $\tau_m$  включає два кроки: визначення принадлежності точки  $(\delta_3, \tau_{m3}, T_p)$  поверхні  $\pi(\delta, \tau_m, T) = 0$  та ітераційний процес уточнення значень  $\delta, \tau_m, T$ . Скінченим результатом процедури є одержання такого кроку моделювання (екстраполяції)  $T_p$ , при якому  $\delta = \delta_3 \pm \Delta\delta$ , а  $\tau_m = \tau_{m3} \pm \Delta\tau_m$ , де  $\tau_m$  у свою чергу, визначає  $t_{mp}$ .

Отже, запропонований підхід дозволяє здійснити ефективний вибір між точністю моделювання  $\delta$  і тимчасовими витратами  $\tau_m$  при обчисленні однієї точки реакції ЦМ ДС.

Стаття надійшла до редакції 30.03.02.

УДК 681.3

В.В. Васильєв, чл.-кор.,  
Л.О. Сімак, д-р техн. наук,  
Г.М. Тодорова, асп.

## АПРОКСИМАЦІЯ НЕПЕРЕРВНИХ СИГНАЛІВ У СЕРЕДОВИЩАХ ІНТЕГРОВАНИХ СИСТЕМ «MATHEMATICA» ТА «MATLAB/SIMULINK»

Розглянуто питання апроксимації неперервних сигналів узагальненими поліномами за допомогою модифікованого методу рівних площ. Показано, що використання цього методу приводить до простіших апаратних рішень та зменшує витрати обчислювальних ресурсів. Ілюстрацію виконано в інтегрованих середовищах Mathematica® та MatLab®.

В обчислювальній математиці та технічних прикладеннях широко використовується апроксимація сигналів поліномами на основі різних систем базисних функцій. Коефіцієнти поліномів, що наближають сигнали, як правило, визначаються за методом найменших квадратів [1]. Технічна реалізація цього методу ускладнюється у зв'язку з необхідністю обчислення інтегралів добутку сигналу з базисними функціями.

П.В. Мелентьевим [2] було розглянуто простіший метод апроксимації, заснований на визначенні коефіцієнтів апроксимуючого полінома, виходячи з умови рівності нулю інтегралів функцій похибки апроксимації на деякій системі інтервалів зміни аргументу. Цей метод було орієнтовано на ручні обчислення. У даній роботі запропоновано модифікований метод рівних площ.

Нехай неперервний сигнал  $x(t)$  задано на деякому інтервалі зміни аргументу  $[0, T]$ . Вибирається деяка система функцій  $\{s_k(t)\}_{k=0}^n$ , що задані на тому ж інтервалі зміни аргументу. З теорії апроксимації відомо, що сигнал може бути подано на певному інтервалі зміни аргументу узагальненим поліномом

$$\tilde{x}(t) = \sum_{k=0}^n \tilde{X}(k) s_k(t). \quad (1)$$

Систему коефіцієнтів  $\tilde{X}(k)$ , як правило, називають апроксимуючим поліноміальним спектром сигналу  $x(t)$ .

Задача визначення апроксимуючого спектра формулюється так: визначити систему величин  $\tilde{X}(k)$ , що мінімізує норму  $\|\beta(t)\|$  функції похибки:

$$\beta(t) = \tilde{x}(t) - x(t). \quad (2)$$